



11043



سازمان اطلاعات مرکز علمی پژوهی
تئیه مرکز

دافتارگاه سیستان و بلوچستان

۱۳۸۲ / ۰۵ / ۳۰

تحصیلات تكمیلی

پایان نامه کارشناسی ارشد فیزیک کاربردی

مطالعه آثار مغناطیسی تنگش در آلیاژ

$\text{Pr}_7\text{Fe}_{11}\text{Ga}_3$

استاد راهنما:

دکتر ناصر تجیر

استاد مشاور:

محمد گشتاسبی راد

تحقیق و نگارش:

امیر علوی

خرداد ۱۳۸۲

۱۷۹

بررسی

صفحه الف

این پایان نامه با عنوان **مطالعه آثار مغناطیو تنگش در آلیاژ $Pr_2Fe_{11}Ga_2$** قسمتی از برنامه آموزشی دوره کارشناسی ارشد فیزیک گرایش حالت جامد توسط دانشجو **امیر علوی** تحت راهنمایی استاد پایان نامه آقای **دکتر ناصر تجیر** تهیه شده است. استفاده از مطالب آن بمنظور اهداف آموزشی با ذکر مرجع و اطلاع کتبی به حوزه تحصیلات تكمیلی دانشگاه سیستان و بلوچستان مجاز می باشد.

امضا، دانشجو

این پایان نامه **شش** واحد درسی شناخته می شود و در تاریخ **۱۳۹۰/۰۸/۰۷** توسط هیئت داوران بررسی و نمره **معتمد** با درجه **عالی** به آن تعلق گرفت٪

تاریخ

امضا

نام و نام خانوادگی

۱۳۹۰

دکتر ناصر تجیر

۱- استاد راهنما:

۱۳۹۰

دکتر محمد گشتاسبی راد

۲- استاد مشاور:

۱۳۹۰

دکتر محمود ذوالفقاری

۳- داور ۱:

۱۳۹۰

دکتر محمد مهدی طهرانچی

۴- داور ۲:

۱۳۹۰

دکتر محمد بنی گردیج

۵- تحصیلات تكمیلی:

چکیده

در این تحقیق خواص مغناطوالاستیکی آلیاژ $\text{Pr}_7\text{Fe}_{11}\text{Ga}_3$ و نیز اثر گرمادهی نمونه بر این خواص برای اولین بار اندازه‌گیری و مطالعه شده است. امروزه آلیاژهای ساخته شده از عناصر خاکی نادر و $\text{RE}_7\text{Fe}_{14}\text{B}$ عناصر واسطه، بهترین ترکیبات برای تهیه آهنرباهای دائمی شناخته می‌شوند. ترکیبات RE (نایابنده عناصر خاکی نادر)، جدیدترین خانواده از این نوع هستند که در مراجع علمی با علامت اختصاری ۱-۱۴-۲ نمایش داده می‌شوند. تحقیقات انجام شده نشان داده‌اند که ناخالص‌سازی این ترکیبات با عناصر غیرمغناطیسی، مثل Al , Si , Ga و ..., باعث تغییر محسوس خواص فیزیکی این قبیل آهنرباهای می‌شود، که از آن جمله می‌توان به بهبود واگردانی مغناطیسی و استحکام مکانیکی اشاره کرد. معلوم شده است که این مهم عمدتاً از طریق تشکیل فاز فرعی $\text{RE}_7\text{Fe}_{14-x}\text{M}_x$ ($\text{M} \equiv \text{Ga}$ یا Si یا Al) در نمونه‌های ناخالص شده ۱-۱۴-۲ حاصل می‌شود. با توجه به خواص فیزیکی بسیار متنوع فازهای فرعی $\text{RE}_7\text{Fe}_{14-x}\text{M}_x$ که می‌تواند تغییر قابل ملاحظه ویژگیهای فیزیکی آهنرباهای ۱-۱۴-۲ را به همراه داشته باشد، لذا مطالعه خواص فیزیکی آنها به موازات اهمیت یافتن روز افزون آلیاژهای ۱-۱۴-۲ مورد توجه محققان مغناطیس بوده است. همچنین، ساختار بلوری و اسپینی ویژه آلیاژهای $\text{RE}_7\text{Fe}_{14-x}\text{M}_x$, زمینه مناسبی را برای مطالعه برهم‌کنشهای مغناطیسی فراهم می‌آورد، که توجه خاص فیزیکدانان به این آلیاژها را به همراه داشته است. علاوه بر دو مورد بالا، امکان استفاده از آلیاژهای $\text{RE}_7\text{Fe}_{14-x}\text{M}_x$ به عنوان نگهدارنده هیدروژن، باعث اهمیت آنها در زمینه فن آوری شده است. ویژگیهای یاد شده انگیزه انتخاب آلیاژ $\text{Pr}_7\text{Fe}_{11}\text{Ga}_3$ در تحقیق حاضر بوده است.

آلیاژ $\text{Pr}_7\text{Fe}_{11}\text{Ga}_3$ از طریق ذوب مخلوط عناصر اولیه در یک کوره القایی ساخته شد. برای مطالعه اثر گرمادهی، بخشی از آلیاژ اولیه در حضور گاز آرگون درون یک کپسول کوارتز محبوس و در دمای 600°C به مدت هشت روز گرمادهی شد. ریزساختار نمونه‌ها توسط میکروسکوپ الکترونی روبشی (SEM) و ساختار بلوری آنها به وسیله پراش پرتو X بررسی شد. انبساط گرمایی و مغناطوتونگش نمونه‌ها در بازه دمایی ۷۷ تا ۳۰۰ کلوین و در حضور میدانهای مغناطیسی به بزرگی تا $1,5\text{ T}$ با استفاده از پیمانه کرنشی اندازه‌گیری شد. مغناطومقاومت و رسانندگی الکتریکی نیز به روش چاراچالی اندازه‌گیری شد.

نتایج پراش پرتو X نشان داد که هر دو نمونه تا حد مطلوبی از یک فاز $\text{Pr}_x\text{Fe}_{11}\text{Ga}_3$ تشکیل شده‌اند، و اندازه بلورکها در نمونه گرمادهی شده به مراتب بزرگتر از نمونه اصلی است. تصاویر میکروسکوپ الکترونی نیز نتیجه اخیر را تأیید می‌کنند.

در نمونه بازپخت نشده $\text{Pr}_x\text{Fe}_{11}\text{Ga}_3$ در ناحیه دماهای پایین، با اعمال میدانهای کوچک به علت قفل شدگی دیواره حوزه‌های مغناطیسی، تغییر بعد دیده نمی‌شود. ولی با افزایش میدان به مقادیر بزرگتر از میدان ناهمسانگردی، نمونه مغناطیسیده شده و تغییر بعد می‌دهد. مغناطوتنگش در میدان ثابت، در میدانهای ضعیف تقریباً صفر است و با افزایش دما در میدان ثابت، تأثیر میدان محسوس می‌شود، به نحوی که در حدود 130 K ، مغناطوتنگش از یک بیشینه پهن می‌گذرد.

در نمونه بازپخت شده، در ناحیه دماهای پایین، اندازه مغناطوتنگش ناهمسانگرد با افزایش میدان خارجی کاهش می‌یابد و در حدود دمای 250 K از صفر می‌گذرد. در دماهای بالاتر از این دما، مغناطوتنگش ناهمسانگرد با افزایش میدان خارجی افزایش می‌یابد. اندازه نسبتاً کوچک مغناطوتنگش واداشته در دماهای پایین ناشی از قفل شدگی بسیار قوی دیواره حوزه‌های مغناطیسی است. منشاء میکروسکوپیکی این قفل شدگی ناهمسانگردی مغناطوبلوری نسبتاً بزرگ زیرشبکه Pr است که با افزایش دما به سرعت کاهش می‌یابد. همین عامل باعث تغییر شیب منحنی مغناطوتنگش بر حسب دما در دمایی کمتر از 200 K می‌شود، که دمای تغییر شیب تابعی از شدت میدان خارجی است.

انبساط گرمایی آلیاژ $\text{Pr}_x\text{Fe}_{11}\text{Ga}_3$ نشان می‌دهد که ایجاد نظم مغناطیسی در دماهای کمتر از دمای کوری توأم با مغناطوتنگش خودبه‌خودی حجمی محسوسی است. با کاهش دما تا حدود 130 درجه زیر دمای کوری، مغناطوتنگش حجمی در دو مرحله به طور چشمگیری افزایش می‌یابد که ناشی از افزایش مغناطوتنگش نمونه با کاهش دماست.

مجموعه این نتایج نشان می‌دهند که تشکیل فاز $\text{Pr}_x\text{Fe}_{11}\text{Ga}_3$ در یک آهنربای ۲-۱۴-۱ آلاییده شده با Ga می‌تواند ویژگیهای مغناطوالاستیکی آن آهنربا را تغییر دهد.

تقدیم به حضرت دوست که به من توان آموختن داد.

تقدیم به پدر و مادر عزیزم که در همه مراحل زندگی
پشتیبان من هستند.

تقدیم به همسر عزیزم که همیشه یار و یاور من است.

تقدیم به خواهر و برادر عزیزم که دوستشان دارم

با تشکر از

جناب آقای دکتر ناصر تجبر که سرپرستی این پایاننامه را به عهده گرفتند و در همه مراحل انجام آن مرا از راهنمایی‌های خود بهره‌مند ساختند.

جناب آقای دکتر محمدرضا علی‌نژاد و جناب آقای دکتر احمد امیرآبادی‌زاده که صمیمانه تجربیات خود را در اختیار من قرار دادند.

۱	فصل اول: مفاهیم بنیادی.....
۲	مقدمه.....
۲	میدان مغناطیسی.....
۲	میدان القای مغناطیسی.....
۳	میدان مغناطیسی بر حسب چگالی جریان.....
۵	میدان دو قطبی مغناطیسی.....
۹	انرژی و نیروی موثر بر توزیع جریان جایگزینه در یک میدان القای مغناطیسی.....
۱۱	خارجی.....
۱۲	مغناطش.....
۱۲	ارتباط بین میدانهای مغناطیسی B , H و مغناطش M
۱۲	مغناطش اشباعی.....
۱۳	کوانتش.....
۱۵	برهم کنش کولنی و انرژی تبادلی.....
۱۷	برهم کنش اسپین – مدار.....
۱۸	برهم کنش ابرتبدالی.....
۱۹	فصل دوم: خواص مغناطیسی مواد.....
۲۰	مقدمه.....
۲۰	قانون گورن.....

۲۲.....	تراوائی و پذیرفتاری
۲۲.....	مواد مغناطیسی
۲۲.....	مواد فرومغناطیس
۲۷.....	مواد پارامغناطیس
۲۸.....	مواد دیامغناطیس
۲۸.....	مواد پادفرومغناطیس
۲۹.....	مواد فریمغناطیس
۲۹.....	حوزه‌های مغناطیسی
۳۲.....	حرکت دیواره حوزه‌های مغناطیسی در اثر اعمال میدان
۳۳.....	ناهمسانگردی و انواع آن
۳۳.....	انواع ناهمسانگردی
۳۴.....	ناهمسانگردی در بلور مکعبی
۳۹.....	ناهمسانگردی در بلور شش گوشی
۴۰.....	منشأ فیزیکی ناهمسانگردی بلوری
۴۱.....	روشهای اندازه‌گیری ناهمسانگردی
۴۲.....	روش محاسبه ناهمسانگردی با استفاده از منحنی مغناطیش
۴۶.....	ناهمسانگردی شکل
۴۹.....	ناهمسانگردی ترکیبی
۵۱.....	فرایند مغناطیس شدگی

۵۳.....	اعمال میدان در یک جهت دلخواه بر ماده‌ای با یک محور آسان.....
۵۵.....	مغناطش در میدانهای ضعیف.....
۵۷.....	مغناطش در میدانهای قوی.....
۵۸	فصل سوم: روش‌های تجربی.....
۵۹.....	مقدمه.....
۵۹.....	آثار تغییر مغناطش.....
۵۹.....	مغناطوتنگش حجمی.....
۶۰	مغناطوتنگش ژول.....
۶۱.....	اثر وايدمن.....
۶۲.....	اثر ΔE
۶۲.....	مغناطوتنگش مواد همسانگرد.....
۶۴.....	محاسبه مغناطوتنگش.....
۶۶.....	اندازه‌گیری مغناطوتنگش، روش پیمانه کرنشی.....
۷۰	آثار شکل بر مغناطوتنگش.....
۷۱.....	وابستگی مغناطوتنگش به میدان خارجی.....
۷۲	مغناطوتنگش در زاویه θ نسبت به میدان مغناطیسی.....
۷۳.....	مغناطوتنگش مواد ناهمسانگرد.....
۷۳.....	کاربردهای مغناطوتنگش.....
۷۳.....	کاربردهای مغناطوتنگش خودبه‌خودی.....

۷۴.....	کاربردهای مغناطوتنگش ژول
۷۴.....	کاربردهای مغناطوتنگش صفر
۷۵.....	رسانش در میدان مغناطیسی
۷۵.....	وابستگی دمایی مقاومت در فلزات
۷۷.....	فصل چهارم: مطالعه خواص فیزیکی آلیاز $\text{Pr}_x\text{Fe}_{11}\text{Ga}_2$
۷۸.....	مقدمه
۷۸.....	خصوصیات آلیاز $\text{Pr}_x\text{Fe}_{11}\text{Ga}_2$
۸۰.....	تهیه آلیاز $\text{Pr}_x\text{Fe}_{11}\text{Ga}_2$
۸۰.....	بررسی ریزساختار
۸۲.....	نقش پراش پرتو X آلیاز $\text{Pr}_x\text{Fe}_{11}\text{Ga}_2$
۸۳.....	روش پیمانه کرنشی جهت اندازه گیری مغناطوتنگش و انبساط گرمایی
۸۵.....	مراحل آماده سازی نمونه و نصب پیمانه کرنشی روی آن
۸۹.....	رفتار مغناطوتنگش و اداشه در میدان ثابت
۹۱.....	رفتار مغناطوتنگش و اداشه در دمای ثابت
۹۵.....	بررسی رفتار مغناطوتنگش نمونه بازپخت شده
۹۸.....	مغناطوتنگش و اداشه در میدان ثابت
۱۰۱.....	انبساط گرمایی
۱۰۶.....	مغناطو مقاومت
۱۰۸.....	جمع‌بندی

فصل اول

مفاهیم بنیادی

- ۱-۱ میدان مغناطیسی
- ۲-۱ میدان القای مغناطیسی
- ۳-۱ میدان مغناطیسی بر حسب چگالی جریان
- ۴-۱ میدان دوقطبی مغناطیسی
- ۵-۱ انرژی و نیروی موثر بر توزیع جریان جایگزینده در یک میدان القای مغناطیسی خارجی
- ۶-۱ مغناطش
- ۷-۱ ارتباط بین میدانهای مغناطیسی H , B و مغناطش M
- ۸-۱ مغناطش اشباعی
- ۹-۱ کوانتش
- ۱۰-۱ برهمنش کولنی و انرژی تبادلی
- ۱۱-۱ برهمنش اسپین-مدار
- ۱۲-۱ برهمنش ابرتبادلی

مقدمه

وقتی میدان مغناطیسی در حجمی از فضا تولید می‌شود، به این معنی است که انرژی آن حجم تغییر کرده و یک گرادیان انرژی و در نتیجه نیرویی تولید شده که می‌توان توسط یک بار الکتریکی متوجه یا توسط رسانای حامل جریان یا توسط گشتاور وارد بر دو قطبی مغناطیسی مانند آهنربای دائمی یا توسط بازجهت‌گیری اسپین اتمها، آنرا مشاهده کرد.

بار الکتریکی متوجه که می‌تواند میدان مغناطیسی تولید کند مانند سیم حامل جریان برق. آهنربای دائمی نیز توسط حرکت مداری و اسپین الکترونهای خود، میدان مغناطیسی تولید می‌کند. یک میدان مغناطیسی روی هر دو نوع جریان اشاره شده بالا اثر می‌گذارد [۱].

بهتر است قبل از هرگونه مطالعه خواص مغناطیسی مواد، از نحوه تولید میدان مغناطیسی و چگونگی تأثیر آن بر مواد شناخت داشته باشیم.

۱-۱ میدان مغناطیسی

جریانی به شدت یک آمپر، عبوری از رسانایی به شکل میله مستقیم به طول بینهایت، یک میدان مغناطیسی به بزرگی $\frac{1}{4\pi} H$ با واحد آمپر بر متر به فاصله شعاعی یک متر از خود تولید می‌کند، که مستقل از محیط پیرامون آن است.

۱-۲ میدان القای مغناطیسی

وقتی میدان مغناطیسی در یک محیط تولید شود، پاسخ آن محیط به میدان مغناطیسی را القای مغناطیسی \bar{B} یا چگالی شار مغناطیسی نامند. هر محیطی یک پاسخ خاص به میدان مغناطیسی اعمالی بر خود را دارد و رابطه بین القای مغناطیسی و میدان مغناطیسی خاصیتی از محیط است که آن را تراوائی μ نامند:

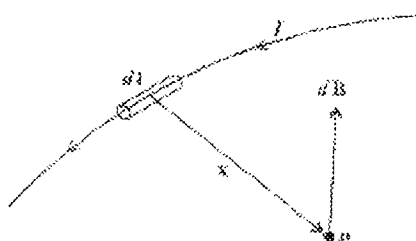
$$\bar{B} = \mu \bar{H} \quad (1-1)$$

جایی در فضا که میدان مغناطیسی حضور دارد شار مغناطیسی ϕ وجود خواهد داشت که با واحد ویر اندازه گیری می‌شود که مقدار آن به ساختار محیط بستگی دارد. یک ویر مقدار شار مغناطیسی است که وقتی در مدت یک ثانیه به مقدار صفر می‌رسد، نیروی محرکه‌ای معادل یک ولت از یک حلقه رسانا که شار از میان آن می‌گذرد تولید کند. چگالی شار واحد Wb/m^2 به عنوان القای مغناطیسی \bar{B} شناخته می‌شود که به آن تsla هم گویند. القای مغناطیسی \bar{B} به اندازه یک تsla نیروی برابر یک نیوتون بر متر روی سیم حامل جریان یک آمپر که عمود بر جهت \bar{B} است اعمال می‌کند. در بعضی محیطها، \bar{B} تابع خطی از \bar{H} است، یعنی $\bar{H} = \mu_0 \bar{B}$ که برای محیط خلا μ_0 یک ثابت جهانی با واحد H/m است. برای محیطهای دیگر خصوصاً در محیطهای فرومغناطیس، \bar{B} نه تنها تابع خطی از \bar{H} نیست، بلکه تک مقدار نیز می‌باشد و رابطه بین \bar{B} و \bar{H} در چنین محیطهایی به صورت $\bar{H} = \mu \bar{B}$ است که μ لزوماً مقدار ثابتی ندارد.

۱-۳ میدان مغناطیسی بر حسب چگالی جریان

بیو و ساوار در سال ۱۸۲۰ میلادی موفق شدند به روش تجربی القای مغناطیسی \bar{B} را بر حسب جریان عبوری از یک سیم بدست آورند. مطابق شکل ۱-۱ اگر dl المان طول یک سیم درجهت جریان باشد و I جریان عبوری از سیم و x فاصله dl تا نقطه مشاهده \bar{B} باشد خواهیم داشت:

$$d\bar{B} = kI \frac{dl \times \vec{x}}{|x|^3} \quad (2-1)$$



شکل ۱-۱ القای مغناطیسی dB ناشی از المان جریان Idl .

ثابت k به اندازه و بعد در سیستم واحدهای مورد استفاده بستگی دارد. در سیستم واحدهای گوسی که در آن جریان بر حسب emu و القای مغناطیسی بر حسب emu اندازه گرفته می شود، $k = \frac{1}{c}$ بدست می آید که c سرعت نور در خلا است. در سیستم SI، $k = \frac{\mu_0}{4\pi} = 10^{-7} \text{ N/A}^2 \text{ H/m}$ است که μ_0 گذردهی خلا می باشد.

با توجه به قانون بیوساوار، القای مغناطیسی را می توان بصورت کلی برای یک چگالی

جریان $(\vec{J}(x))$ بصورت زیر نوشت:

$$\vec{B}(x) = \frac{\mu_0}{4\pi} \int \vec{J}(x') \times \frac{\vec{x} - \vec{x}'}{|x - x'|} d^3x' \quad (3-1)$$

این معادله را می توان بصورت زیر نوشت:

$$\vec{B}(x) = \frac{\mu_0}{4\pi} \vec{\nabla} \times \int \frac{\vec{J}(x')}{|x - x'|} d^3x' \quad (4-1)$$

درنتیجه $\vec{B} = \vec{\nabla} \times \vec{A}$ است. اگر در هر جایی از فضا، $\vec{B} = \vec{\nabla} \times \vec{A}$ باشد، در این صورت \vec{B} بایستی، کرل

یک میدان برداری $(\vec{A}(x))$ باشد که پتانسیل برداری نامیده می شود و می توان نوشت:

$$\vec{B}(x) = \vec{\nabla} \times \vec{A}(x) \quad (5-1)$$

از محاسبه $\vec{\nabla} \times (\vec{\nabla} \times \vec{A})$ نیز به نتیجه زیر می رسیم:

$$\vec{\nabla} \times \vec{B} = \mu_0 \vec{J}(x) \quad (6-1)$$

در نتیجه خواهیم داشت:

$$\vec{A}(x) = \frac{\mu_0}{4\pi} \int \frac{\vec{J}(x')}{|x - x'|} d^3x' + \vec{\nabla} \Psi \quad (7-1)$$